

# 영상 의료정보의 차이점 및 특수성

가톨릭대학교 서울성모병원  
영상의학과  
정승은

# Contents

- 영상의 종류
- 영상정보의 목표
- 영상정보의 구성
- 의료영상의 파일 형식
- 영상정보의 특성
- 유용한 영상정보
- 영상검사의 절차
- 영상에서의 개인정보

# 영상의 종류

- X-ray
- 초음파
- CT scan
- MRI
- Mammography
- Angiography
- Nuclear medicine
- Optical imaging

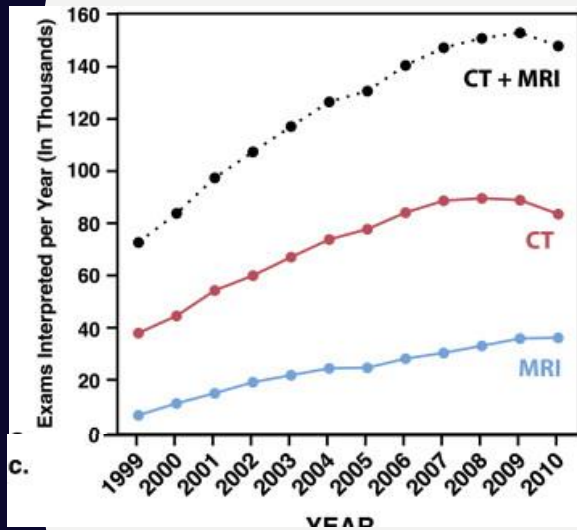
# 영상정보의 목표

- 영상검사를 하는 이유 : 정확한 진단해서 적절한 치료를 하기 위함
- 꼭 필요한 경우에 정확한 진단을 할 수 있는 영상을 얻어야 함
- 얻어진 영상의 영상정보로만은 제대로 된 역할을 할 수 없음
- 반드시 정확한 판독이 되어야 함
- 판독소견서는 검사를 처방하고 환자를 진료하는 의사에게 정확히 전달되어야 함

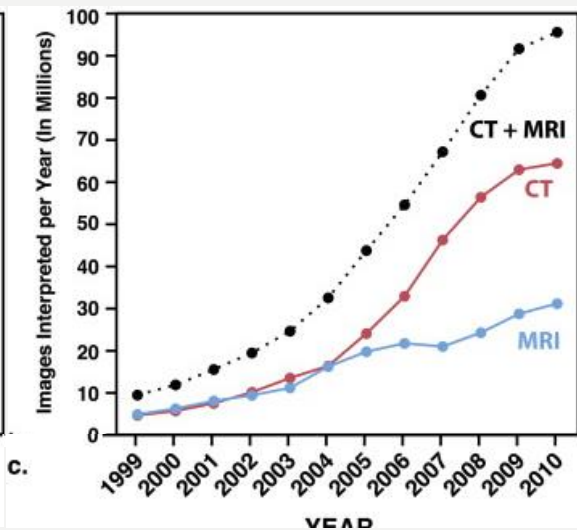


# The Effects of Changes in Utilization and Technological Advancements of Cross-Sectional Imaging on Radiologist Workload

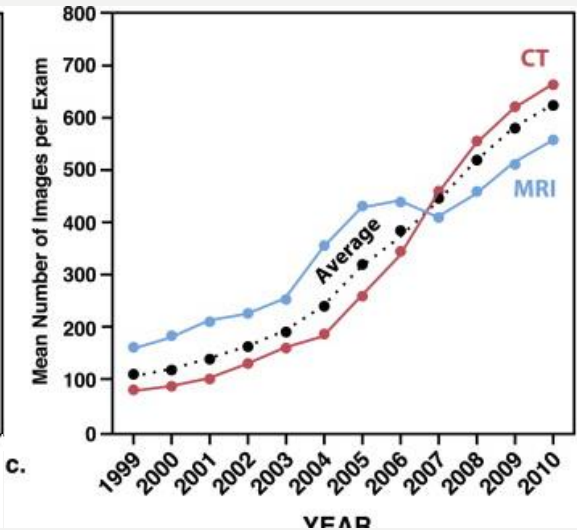
Robert J. McDonald, MD, PhD, Kara M. Schwartz, MD, Laurence J. Eckel, MD, Felix E. Diehn, MD, Christopher H. Hunt, MD, Brian J. Bartholmai, MD, Bradley J. Erickson, MD, PhD, David F. Kallmes, MD



전체영상검사 건수  
140,000여건/2010년

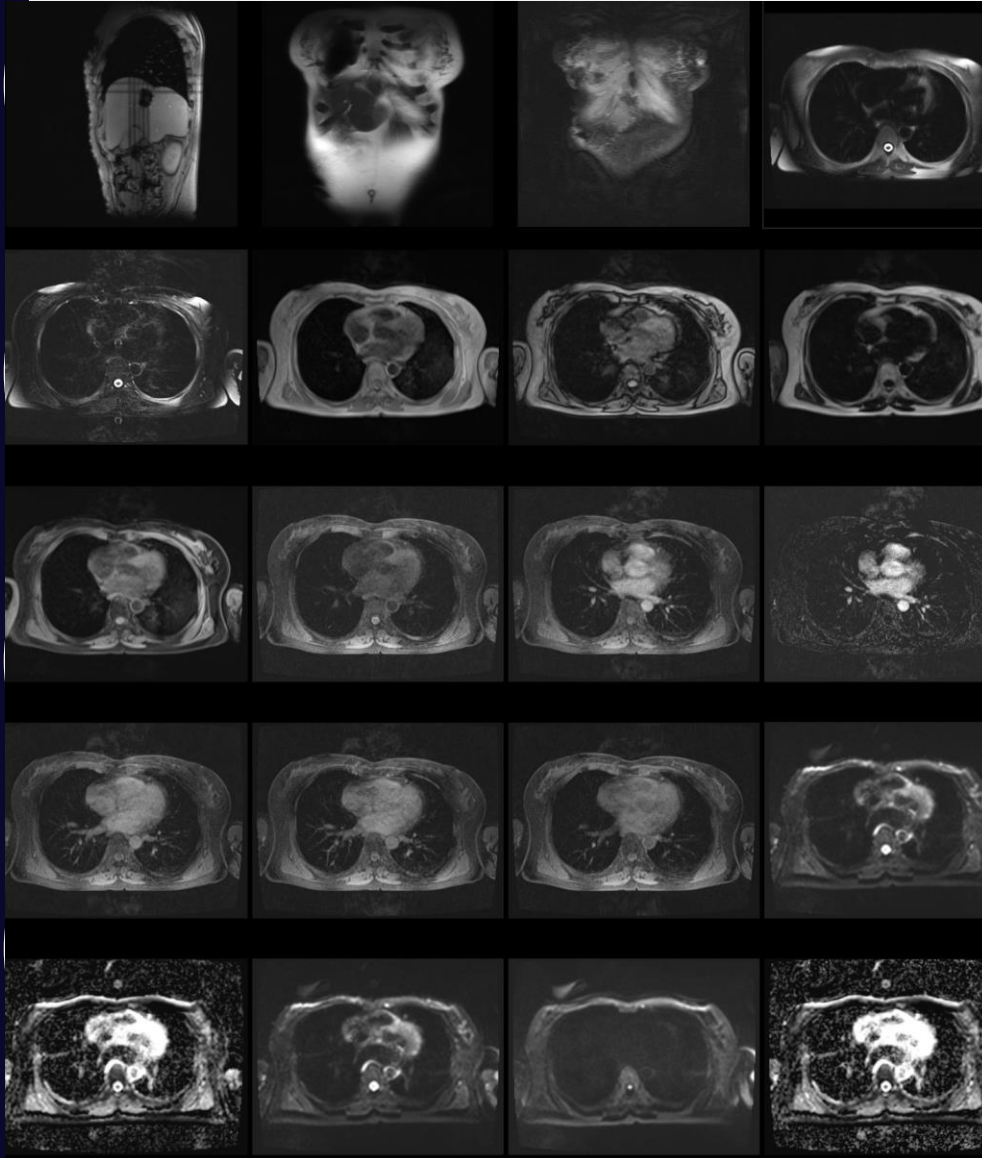


연간 검사의 영상개수  
100,000,000여건/2010년



검사당 영상개수  
600여장/건, 2010년

# 영상정보의 구성



1117 images

0002.0001	OB	2	File Meta Information Version	
0002.0002	UI	26	Media Storage SOP Class UID	1.2.840.10008.5.1.4.1.1.4
0002.0003	UI	52	Media Storage SOP Instance UID	1.3.12.2.1107.5.2.36.40223.201806191738365339275011
0002.0010	UI	22	Transfer Syntax UID	1.2.840.10008.1.2.4.91
0002.0012	UI	28	Implementation Class UID	1.2.410.200003.2020019.5.2.1
0002.0013	SH	22	Implementation Version Name	MAROTECH REGISTER 5.0
0002.0015	AE	8	Source Application Entity Title	MAROTECH
0008.0008	CS	32	Image Type	ORIGINAL#PRIMARY#M#DISZ#FM#FIL
0008.0012	DA	8	Instance Creation Date	20180619
0008.0013	TM	14	Instance Creation Time	173837.421000
0008.0016	UI	26	SOP Class UID	1.2.840.10008.5.1.4.1.1.4
0008.0018	UI	52	SOP Instance UID	1.3.12.2.1107.5.2.36.40223.201806191738365339275011
0008.0020	DA	8	Study Date	20180619
0008.0021	DA	8	Series Date	20180619
0008.0022	DA	8	Acquisition Date	20180619
0008.0023	DA	8	Content Date	20180619
0008.0030	TM	14	Study Time	172917.359000
0008.0031	TM	14	Series Time	173837.281000
0008.0032	TM	14	Acquisition Time	173817.032500
0008.0033	TM	14	Content Time	173837.421000
0008.0050	SH	10	Accession Number	1816907038
0008.0060	CS	2	Modality	MR
0008.0070	LO	8	Manufacturer	SIEMENS
0008.0080	LO	32	Institution Name	SEOUL ST. MARY'S HOSPITAL/ 3T_2
0008.0081	ST	46	Institution Address	Street StreetNo,Seoul /B5E723/,District,KR,ZIP
0008.0090	PN	12	Referring Physician's Name	
0008.1010	SH	8	Station Name	MRC40223
0008.1030	LO	12	Study Description	CMC'ABDOMEN
0008.103E	LO	26	Series Description	AXL_3D_T1_dynamic[ FA 11']
0008.1040	LO	10	Institutional Department Name	Department
0008.1048	PN	8	Physician[s] of Record	
0008.1050	PN	0	Performing Physician's Name	
0008.1070	PN	4	Operators' Name	GJB
0008.1090	LO	6	Manufacturer's Model Name	Verio
0010.0010	PN	14	Patient's Name	
0010.0020	LO	8	Patient ID	
0010.0030	DA	8	Patient's Birth Date	
0010.0040	CS	2	Patient's Sex	
0010.1010	AS	4	Patient's Age	
0010.1030	DS	2	Patient's Weight	75
0018.0010	LO	10	Contrast/Bolus Agent	PRIMOVI6
0018.0020	CS	2	Scanning Sequence	GR
0018.0021	CS	2	Sequence Variant	SP
0018.0022	CS	12	Scan Options	PFWSAT2WFS
0018.0023	CS	2	MR Acquisition Type	3D
0018.0024	SH	6	Sequence Name	*'n3d1
0018.0025	CS	2	Angio Flag	N
0018.0050	DS	2	Slice Thickness	3
0018.0080	DS	4	Repetition Time	3.5
0018.0081	DS	4	Echo Time	1.2
0018.0083	DS	2	Number of Averages	1
0018.0084	DS	10	Imaging Frequency	123.194598
0018.0085	SH	2	Imaged Nucleus	1H
0018.0086	IS	2	Echo Number[s]	1
0018.0087	DS	2	Magnetic Field Strength	3
0018.0089	IS	4	Number of Phase Encoding Steps	161
0018.0091	IS	2	Echo Train Length	1
0018.0093	DS	2	Percent Sampling	72
0018.0094	DS	6	Percent Phase Field of View	78.125
0018.0095	DS	4	Pixel Bandwidth	1002
0018.1000	LO	6	Device Serial Number	40223
0018.1020	LO	12	Software Version[s]	syngo MR B17
0018.1030	LO	26	Protocol Name	AXL_3D_T1_dynamic[ FA 11']
0018.1041	DS	2	Contrast/Bolus Volume	0
0018.1044	DS	2	Contrast/Bolus Total Dose	0
0018.1048	CS	0	Contrast/Bolus Ingredient	
0018.1049	DS	2	Contrast/Bolus Ingredient Concentration	0
0018.1251	SH	4	Transmitting Coil	Body
0018.1310	US	8	Acquisition Matrix	384#0#0#216
0018.1312	CS	4	Phase Encoding Direction	COL
0018.1314	DS	2	Flip Angle	11
0018.1315	CS	2	Variable Flip Angle Flag	N
0018.1316	DS	16	SAR	0.47319055170594
0018.1318	DS	2	dB/dt	0
0018.5100	CS	4	Patient Position	HFS
0019.0010	LO	18	SIEMENS CM VAO CMS - Net Frequency	SIEMENS MR HEADER
0019.1008	CS	12		IMAGE NUM 4
0019.1009	LO	4		1.0
0019.100B	DS	6		16545
0019.100F	SH	4		Fast
0019.1011	SH	2		No
0019.1012	SL	12		0#0#-1546
0019.1013	SL	12		0#0#-1502
0019.1014	IS	6		0#0#44
0019.1015	FD	24		-183.64211655#-111.3567818#4#94.47357932
0019.1017	DS	4		0.65

Report

구조화되지 않은 판독소견서

FINDING

Clinical information : Breast cancer with multiple liver metastasis.  
 Compared to the previous MR dated 2018.02.26

Both hemiliver의 numerous, T2 high/T1 low SI를 보이는 known hepatic metastases가 있고 일부는 conglomerated appearance를 보임.  
 S4와 Lt. lateral section에 걸쳐있는 metastatic lesion은 크기가 4.3cm에서 5.0 cm로 증가함.  
 Rt. central liver의 metastatic lesion 역시 크기가 5.9cm에서 7.1cm로 증가함.  
 그 외 multiple newly developed lesion들이 생김. (Se 4, indicator, more than lines)  
 이 병변들은 nodular, peripheral enhancement를 보이고, EOB cloud sign과 diffusion restriction이 여전히 동반되어 있음.

Rt. anterior portal vein branch는 여전히 poor visualization 되어 metastatic tumor의 invasion으로 생각됨.

뚜렷한 tumor thrombosis는 없음.

새로 생긴 IBHD dilatation 없음.

S8 dome에 tumorectomy 시행받은 자리에 T2 bright SI의 fluid collection이 있으며 이전과 변화 없음.

Lt. internal mammary chain에 small enhancing nodular LN가 보임. (Se11-1)

Lt. cardiophrenic angle의 LN는 이전에 비해 prominent 해보임. (Se 11-21)

Rt. internal mammary chain의 a few, small enhancing LN는 큰 변화없음.

Otherwise unremarkable.

CONCLUSION

1. Interval increased size and number of known multiple hepatic metastases.
  - poor visualization of Rt. anterior portal vein, suggesting invasion.
  - : overall, progression of multiple hepatic metastasis.

# 의료영상의 파일 형식

- 의료 영상: 픽셀 또는 복셀이라고 하는 그림요소의 배열 형태로 해부학 영역의 내부 또는 기능을 나타내는 것
- 4가지의 주요 파일 형식
  - Analyze
  - Neuroimaging informatics Technology Initiative (Nifti)
  - Minc
  - Digital Imaging and Communications in Medicine (DICOM)

# 영상 의료 정보의 특성

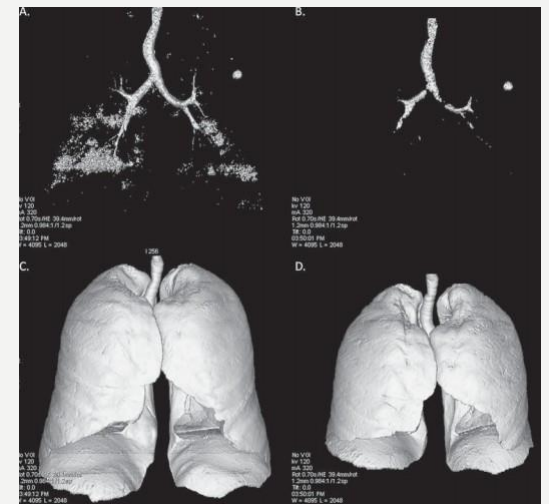
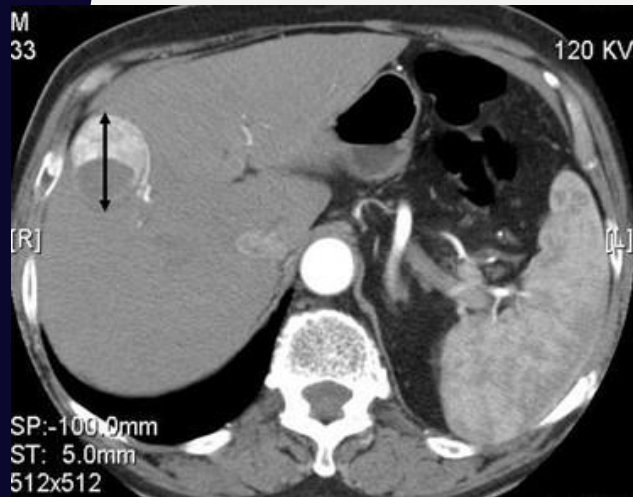
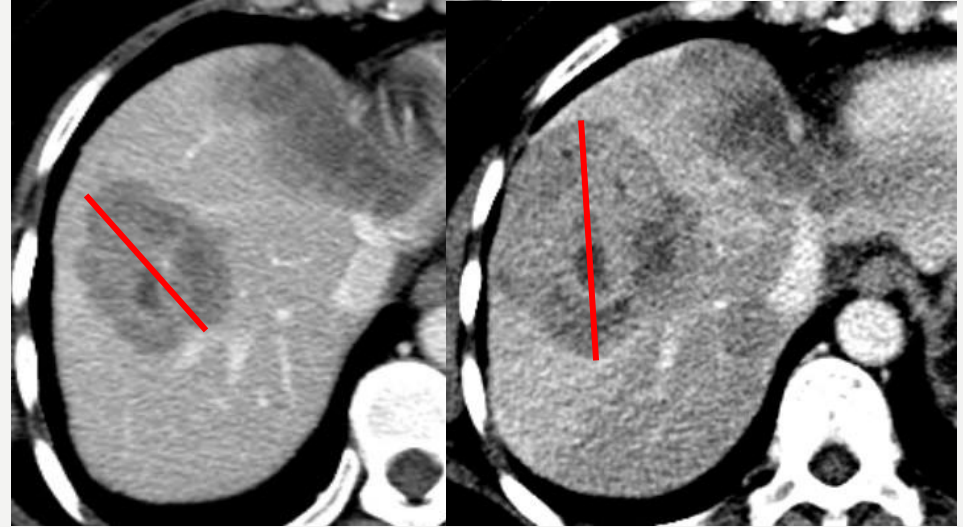
- 환자 진료를 위해 모아진 영상
- 다양한 종류의 영상검사 방법이 있음
- 같은 modality라고 검사 프로토콜이 장비별, 기관별, 환자별 차이가 있음
- 영상에는 반드시 판독이 있어야 함
  - 판독소견서는 구조화되지 않은 이야기체의 결과
- 임상에서 사용하던 영상을 AI나 사용하기 위해서는 Curation 이 필요함
  - Conversion to digital images to mineable data

# Imaging Biomarker: 의료영상이 가지고 있는 정보

Semantic features	Agnotic feature
흔히 사용하는 영상 어휘	정량적 분석을 통한 병변의 이질성
BI-RADS, PI-RADS, and Lung-RADS	일반적인 영상 어휘 아님
크기	히스토그램 (skewness, kurtosis)
모양	Haralick textures (그레이 값의 변이)
위치	Laws textures
혈관정도	Wavelets
뼈죽뼈죽한 정도	Laplacian transforms
괴사	Minkowski functionals
인접조직과의 관계	Fractal dimensions

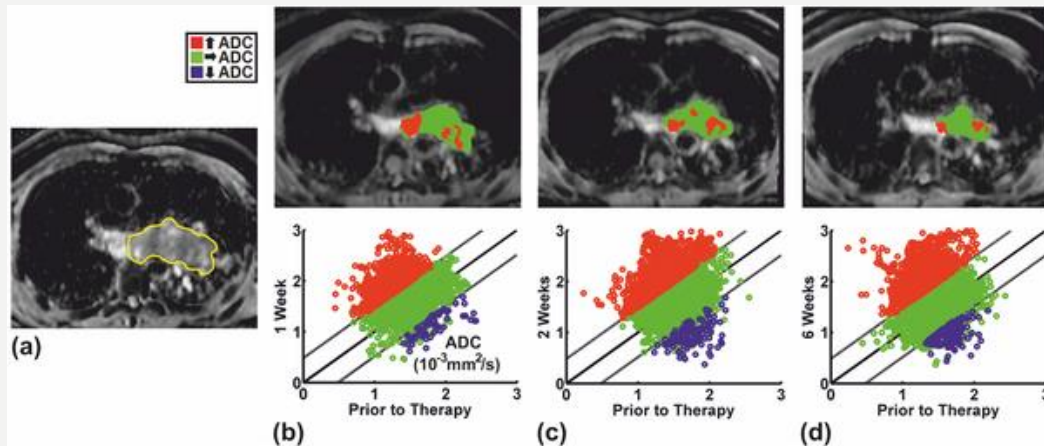
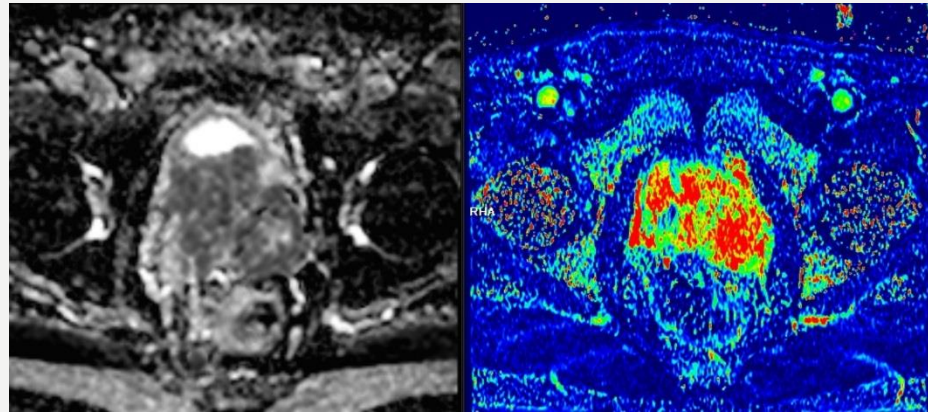
# Imaging Biomarkers (Semantic features)

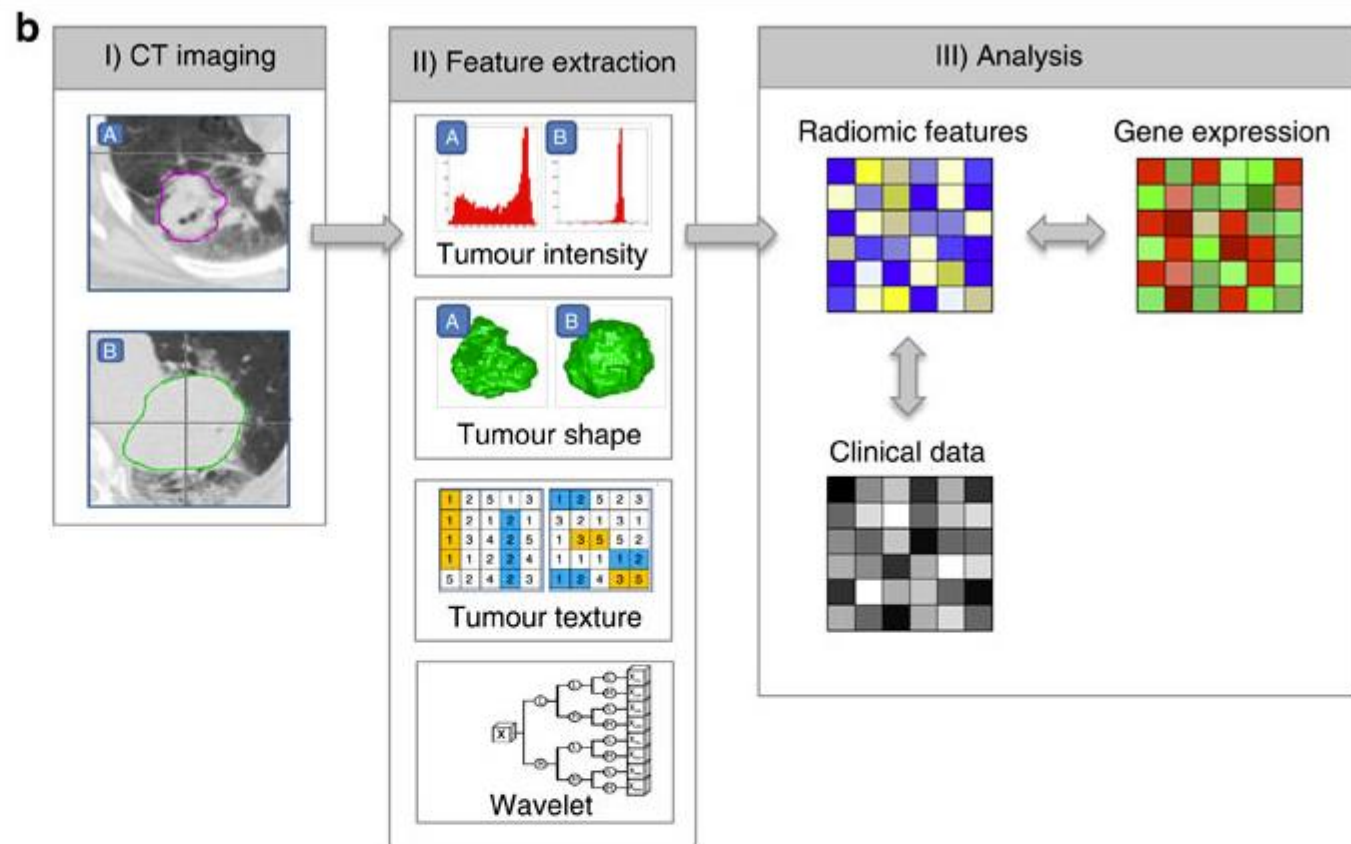
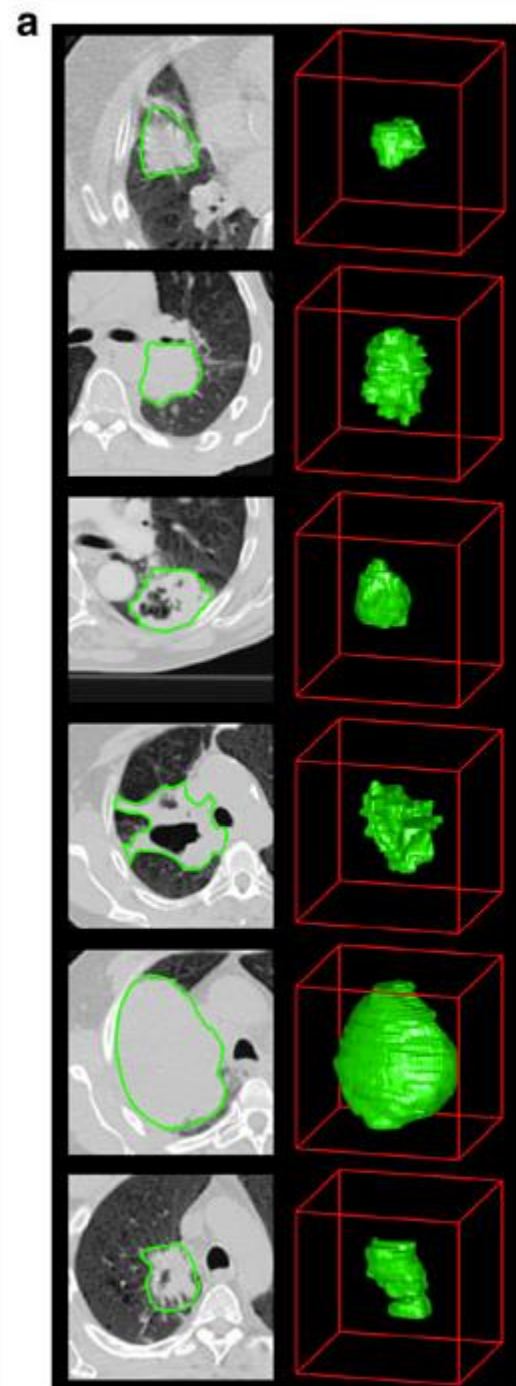
- Size 2D
  - RECIST criteria
- Size 3D
- Density



# Imaging Biomarkers (Agnostic features)

- DCE-MRI
- DWI-MRI
- SUV





(a) Tumours are different. Example computed tomography (CT) images of lung cancer patients. CT images with tumour contours left, three-dimensional visualizations right. Please note strong phenotypic differences that can be captured with routine CT imaging, such as intratumour heterogeneity and tumour shape. (b) Strategy for extracting radiomics data from images. (I) Experienced physicians contour the tumour areas on all CT slices. (II) Features are extracted from within the defined tumour contours on the CT images, quantifying tumour intensity, shape, texture and wavelet texture. (III) For the analysis the radiomics features are compared with clinical data and gene-expression data.

Decoding tumour phenotype by noninvasive imaging using a quantitative radiomics approach, Hugo J. W. L. Aerts, et. Al. Nature Communications 2014

# 영상정보에서 biomarker의 신뢰성에 대한 평가

- 정확도 : 이미지에 실제로 표시되는 것을 측정 할 때의 성능
- 정밀도 : 정확도를 고려하지 않고 유사한 반복 측정에서 같은 값인가?
- 정상적인 환자 변동성 : 변화를 측정 할 때, "정상적인"변화 (한 사람에서 다른 사람으로)와 병리학적 변화를 구별해야 함
- 질병과의 상관 관계 : 병리학을 실제로 알아보는가? 질병으로 인해 우리가 실제로 볼 수 있는 병변인가?
- 유용성 : 영상특성이 위의 모든 특성을 포함하더라도 평가의 복잡성으로 인해 임상에서 사용하거나 배제 될 수 있음

# 유용한 영상정보

- 현재 PACS 에 있는 많은 영상정보: dark data
- 쓸모있는 data로의 변환이 필요
- 표준화된 프로토콜로 영상 획득
- 구조화된 판독소견서
- 정량결과의 자동 연결
- Labelling, curation, tagging

# 영상품질기준 마련(표준검사 프로토콜 마련)



## 영상품질 기준 마련을 위해 선정된 프로토콜

분야	프로토콜	비고
흉부	일반흉부 CT, 저선량 흉부 CT	
심장	관상동맥 CT, 심장 MRI	
복부	간 MRI, 급성복통 CT	
비뇨기	전립선 MRI, 혈뇨 평가를 위한 CT	
신경	두부외상 환자를 위한 CT, CTA MRI	
유방	유방 MRI	
근골격	어깨 MRI, 무릎 MRI, 요추 MRI	

# 저선량 폐암검진 CT 권고 프로토콜

## • 영상 획득 및 방사선량

- 16채널 CT 이상의 CT에서 얻은 영상이 적절하다.
- 최고전압(Peak kilovoltage)은  $\leq 120$  kVp가 적절하다.
- 관전류는 40-60mAs 이하가 적절하다.
- 표준체격 환자에서 방사선량은 CTDIvol  $\leq 3.0$  mGy 이 적절하다.
- CTDIvol, DLP 를 포함한 선량보고서 (Dose report)를 포함한다.

## • 포함 범위

- 촬영범위는 폐첨부에서 기저부를 포함한다.
- 폐첨부보다 위쪽의 폐가 보이지 않는 부분을 1장 이상 포함한다.
- 횡격막능골각 이하의 폐가 보이지 않는 부분을 1장 이상 포함한다.
- 흉벽 전체를 포함한다.
- 흉벽의 최대 좌우 폭이 Field of View의 80% 이상이다.

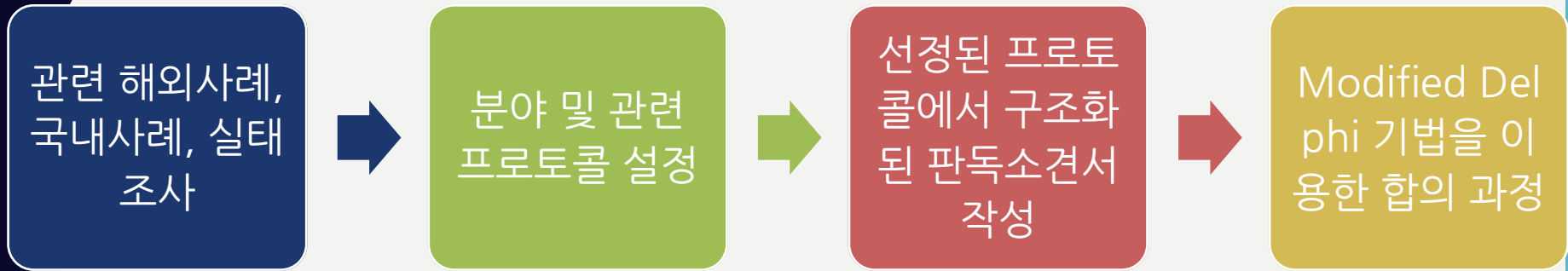
## • 스캔 중 호흡 및 자세

- 호흡은 한번의 멈춤(One-breath hold)으로 최대 흡기(Maximum inspiration)가 적절하다.
- 자세(Positioning)은 눕고 팔을 머리 위로 올린(Supine; arms elevated above the head) 것이 적절하다.

## • 영상 시리즈

- 절편두께는  $\leq 3.0$ mm 이하가 적절하다.
- 절편간격(Interslice gap)은 없는 것이 적절하다.
- 표준(연부조직, standard) 알고리즘 영상 시리즈를 포함한다.
- 고해상(폐, sharp) 알고리즘 영상 시리즈를 포함한다.
- 절편두께  $\leq 3.0$ mm 영상시리즈는 표준(연부조직, standard) 알고리즘이 적절하다.
- 1.5mm 이하의 얇은 절편두께 추가 영상(additional image series with thin slice)을 포함한다.
- 절편두께  $\leq 1.5$ mm 영상은 고해상(폐, sharp) 알고리즘이 적절하다.
- 관상면 재구성영상(Coronal reconstruction)을 포함한다.

# 표준판독소견서(구조화된 판독소견서)



구조화된 판독소견서 작성을 위해 선정된 프로토콜

분야	프로토콜	비고
흉부	일반흉부 CT, 저선량 흉부 CT	
심장	관상동맥 CT, 심장 MRI	
복부	직장 MRI,	
비뇨기	전립선 MRI,	
신경	갑상선 초음파	
유방	유방 MRI	
근골격	어깨 MRI, 무릎 MRI, 요추 MRI	

# 표준판독소견서(흉부 CT)

## 저선량 폐암검진흉부CT

### 일반흉부 CT

임상정보 (Clinical information)를 포함한다.

이전 검사가 있는 경우 비교 (Comparisons)

폐 실질 (Lung)

기도 및 기관지 (Large airway)

흉수 또는 흉막 비후 (Pleural effusion or thickening)

종격과 폐문 (Mediastinum and hila)

진단 (Impression)

임상정보 (Clinical information)를 포함한다.

결절 분류(Nodule classification or nodule consistency ex. solid, part-solid, non-solid)

병변의 해부학적 위치 (Anatomic location; Lobe)

병변의 크기(Diameter)

병변이 보이는 영상시리즈 (Series/image number to facilitate comparison)

이전 검사와 비교 (Interval change)

병변의 최종 분류 (Final category. ex. probably benign, suspicious malignancy or negative)

최종분류와 함께 Lung-RADS 기술

향후 계획 추천 (Recommendation such as follow CT interval or tissue confirm)

폐기종 (Emphysema)

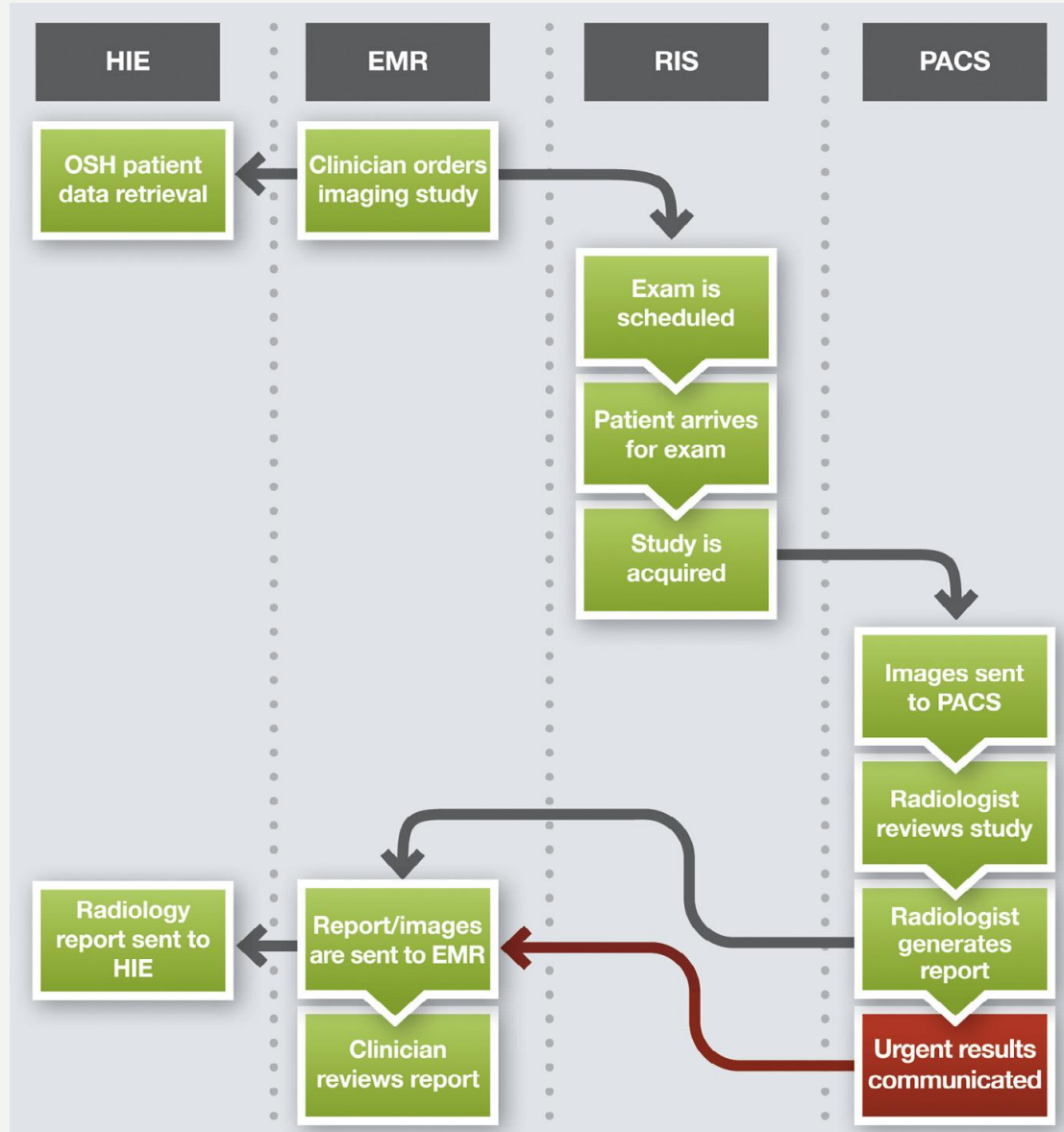
종격림프절 비대(Mediastinal lymph node enlargement)

흉수 또는 흉막 비후 (Pleural effusion or thickening)

관상동맥 석회화 (Coronary artery calcifications)

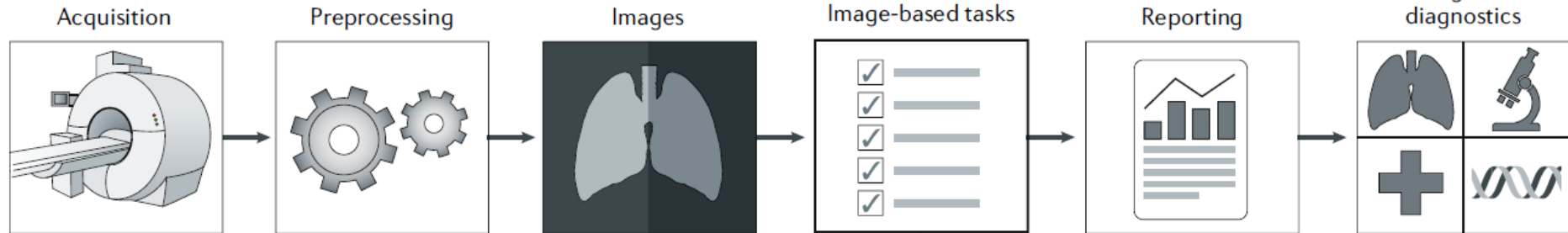


# 영상검사의 절차

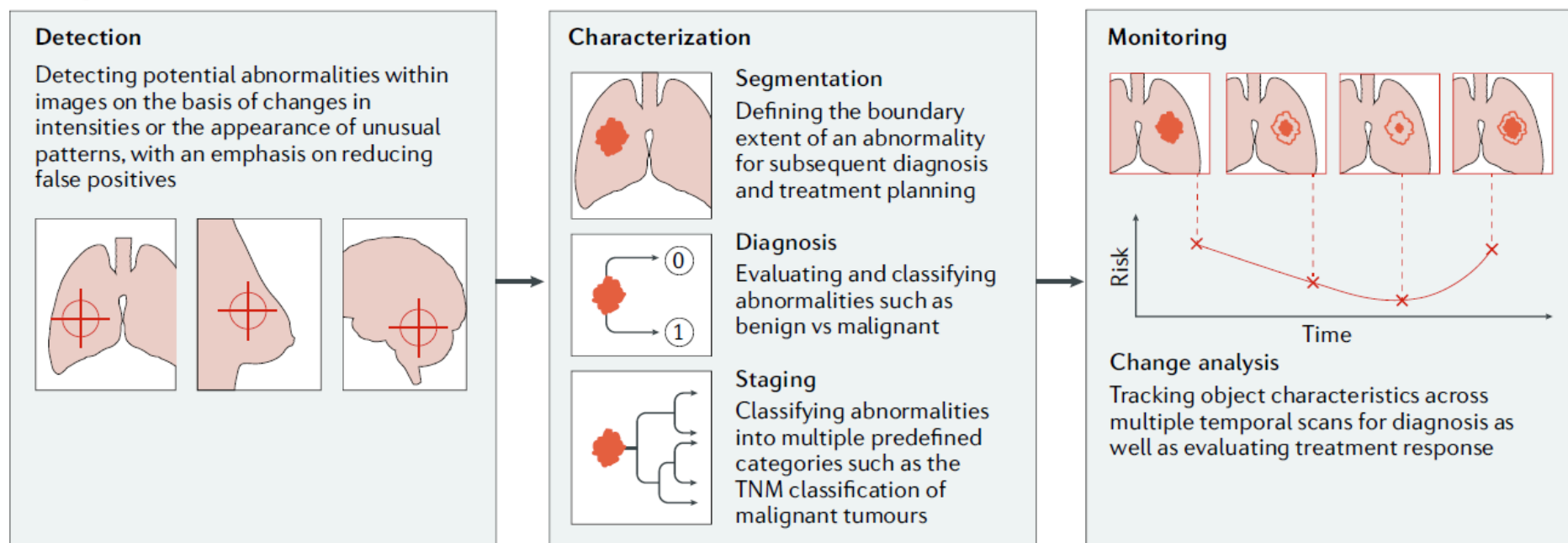


# 영상영상검사 workflow

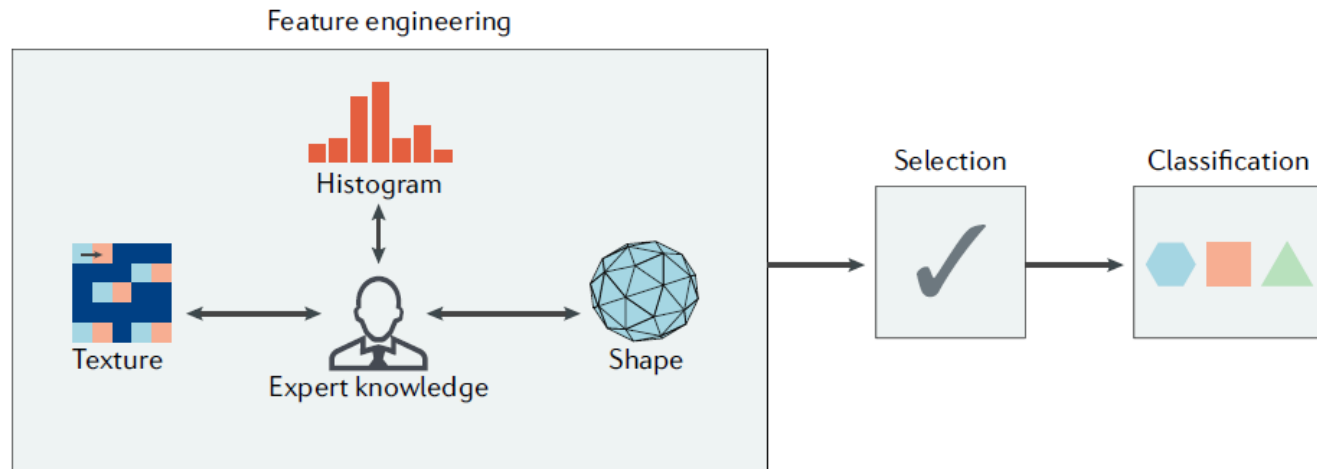
## a Clinical radiology workflow



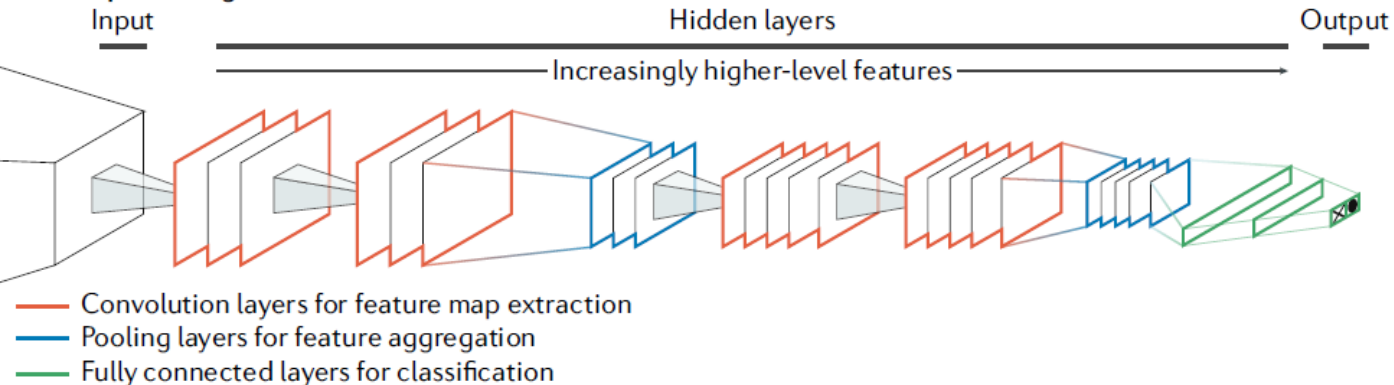
## b Image-based tasks



## a Predefined engineered features + traditional machine learning

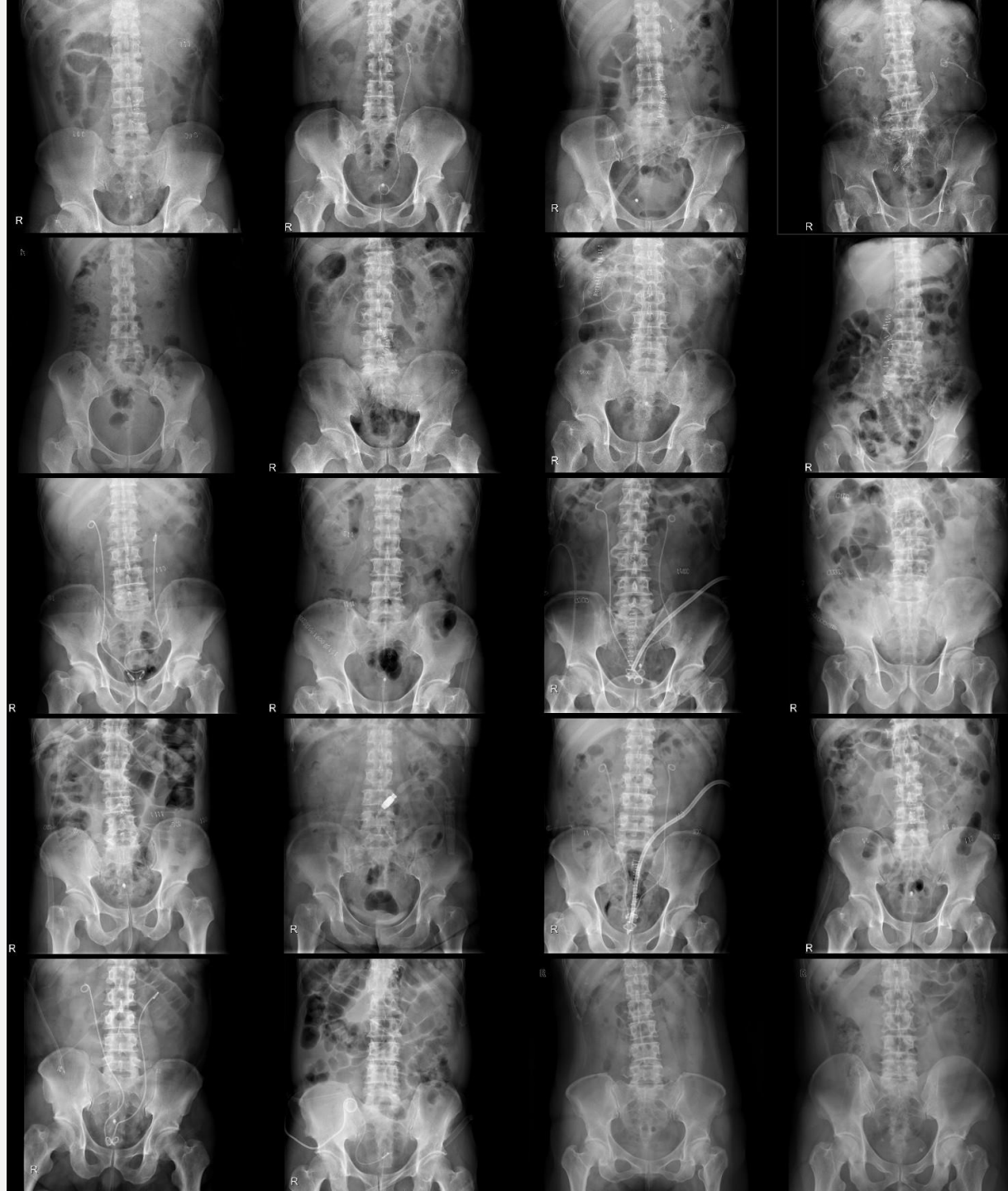


## b Deep learning



Both: Radiomics, the data-centric, radiology-based research field

# 영상에서의 개인정보



- Extract from DICOM Application Level Confidentiality Profile Attributes

Attribute Name	Tag	Basic Profile	Retain UIDs Option	Retain Patient Characteris- tics Option	Retain Longi- tudinal Full Dates Option	Retain Longitudi- nal Modi- fied Dates Option	Clean Description Option
Accession Number	(0008,0050)	Z					
Acquisition Comments	(0018,4000)	X					C
Acquisition Date	(0008,0022)	X/Z			K	C	
Patient ID	(0010,0020)	Z					
Patient's Birth Date	(0010,0030)	Z					
Patient's Sex	(0010,0040)	Z		K			
Study Instance UID	(0020,000D)	U	K				

Z: a zero length value

D: a non-zero length value, dummy value

X: remove

K: keep

C: clean

UID: unique identifier

IOD: information object definition

[Radiographics](#). May-June 2015; 35(3): 727–735.

# 정리

- 영상정보: 영상과 판독소견서
- 영상정보의 파일형식: DICOM
  - Digital image: 비표준화
  - 판독소견서 : 구조화 되지 않음
- 영상정보를 유용한 데이터로의 전환이 중요
  - 표준프로토콜
  - 표준 판독소견서
  - image makeup
- De-identification 한 영상데이터는 개인정보는 안전하며 영상의 정보를 가지고 있음